

**توصيف إنزيم (G6PD)  
منقى من عزلة مطحية ل الخميرة  
*Saccharomyces cerevisiae* Sc1**

حميد مجيد العبيدي

قسم علوم الاغذية والتغذية الاحيائية  
كلية الزراعة - جامعة بغداد

\* محمد عبد الرزاق الصوفي

قسم علوم الاغذية والتغذية الاحيائية  
كلية الزراعة - جامعة تكريت

**الخلاصة**

بلغ الوزن الجزيئي لإنزيم (G6PD) المنقى من عزلة الخميرة 56 كيلو Dalton مقدراً بتنقية الترحيل الكهربائي بهلام متعدد الأكريل امайд يوجد العوامل الماسحة، وكان الاس الهيدروجيني الامثل لفعالية الإنزيم 7.5، وامثل الإنزيم ثباتاً واسعاً في مدى من قيم الاس الهيدروجيني كان بين 5.5 - 8.

كانت درجة الحرارة المثلث لفعالية وثبت الإنزيم المنقى 50 م عند الاس الهيدروجيني الامثل لثبت الإنزيم، فقد الإنزيم 4.6، 17.6، 51.7 % من فعاليته الاصلية عند خزنه بدرجة حرارة -18، 4، 25 م لمدة 7 أيام على التوالي، في حين بلغت طاقة التنشيط اللازمة لتحويل المادة الاساس الى ناتج 12.3 كيلو سعرة / مول.

اظهر كل من كلوريد المغنيسيوم والمنغفizer تأثيراً منشطاً لإنزيم، بينما لم يلاحظ أي تأثير منشطاً لكloride الامونيوم، النيكل، الحديدوز وخليط كلوريد المغنيسيوم والمنغفizer، وقد اظهرت الكاربونات تأثيراً منشطاً لفعالية الإنزيم، بينما كانت المركبات المختزلة والعوامل المعدنية الرابطة ذات تأثير مثبط لفعالية الإنزيم، ويبلغ معدل قيمة Michaelis Constant (Km) لإنزيم المنقى تجاه (G-6-P) Glucose-6-phosphate بوجود Nicotinamide - adenine dinucleotide - phosphate (NADP<sup>+</sup>) 0.34 ملي مolar وبلغت السرعة القصوى 4.08 Maximum Velocity (Vmax) بوجود 0.29 ملي مolar (G-6-P) وبلغت السرعة القصوى (Vmax) 1.81 ملي مolar / دقيقة.

- تاريخ استلام البحث: 2006/9/4

- بحث مستقل من اطروحة دكتوراه للباحث الاول.

**المقدمة**

بتأثير (NADPH)، لذا فإن الإنزيم إذا ما وجد في محیط معين لا يتم فيه أكسدة (NADPH) المتكون بسرعة سيؤدي ذلك إلى تحلل الشكل الرباعي إلى الشكل الثنائي ثم الأحادي، واستنتاج (Kahn وجماعته، 14) أن الأواصر الأيونية Ionic Bonds هي الأساس في استقرار الشكل المزدوج داخل الشكل الرباعي لإنزيم بينما تحافظ الأواصر الكارهة للماء Hydrophobic Bonds على استقرار الشكل الأحادي داخل الشكل الثنائي من خلال دراسة تأثير القوة الأيونية والأس الهيدروجيني على

توجد جزيئة إنزيم (G6PD) (EC: 1.1.1.49) تجاه فعالين هما الشكل الثنائي Dimer والشكل الرباعي Tetramer وتحدد هذه الأشكال بتأثير الاس الهيدروجيني والقوة الأيونية بحسب الظروف المحيطة، إذ تزيد القوة الأيونية العالية والمحيط القاعدية من وجود الشكل الثنائي بينما يزيد المحیط الحامضي والقوة الأيونية العالية من وجود الشكل الرباعي (Ali وجماعته، 3)، وأشار (Scott، 25) و (Segade وجماعته، 26) إلى أن تحول الشكل الثنائي ثم الشكل الأحادي غير الفعال يكون

كريات الدم الحمراء ل الإنسان، الأساس (G6P)، وثبت (Ozols، 23) ان موقع ارتباط العامل المساعد ( $\text{NADP}^+$ ) بالأنزيم يكون بوساطة الحامض الأميني (Gly - 399 - Gly - 491) لأنزيم المنقى من والحامض (Gly - 491 - Gly) لأنزيم المنقى من Lumenal Endoplasmic Reticulum، وأشار المصدر ذاته إلى أن الأنزيم يحتوي على مجموعة كاربوهيدرات مرتبطة بالحامض الأميني (- Asn - 138 - 139 - Gly) والحامض (Asn - 263 - Asn)، وأكد ذلك (Reilly و Allred، 24) في اشارتهم إلى أن الأنزيم المنقى من خميرة *Saccharomyces cerevisiae* هو من نوع البروتينات السكرية Glycoproteins، لذا فقد هدفت هذه الدراسة إلى توصيف إنزيم (G6PD) المنتج من عزلة محلية ل الخميرة *Saccharomyces cerevisiae* لتحديد خصائص هذا الإنزيم والظروف المؤثرة في فعاليته وثباته.

الشكل التركيبى لأنزيم (G6PD) المستخرج من ولاحظ Beutler وجماعته، (5) أن ( $\text{NADP}^+$ ) يزيد من ثبات الأنزيم واستقراره في حين يؤدي إزالته إلى تحلل الأنزيم لوحدات غير فعالة تعود إلى شكلها الطبيعي الفعال عند إضافة ( $\text{NADP}^+$ ) إليه مرة أخرى، وانطبق الشيء ذاته على وجود (G-6-P) الذي يزيد وجوده من استقرار وثباتية الأنزيم بينما فقدانه يؤدي إلى تحلل الأنزيم للشكل غير الفعال، وقد وجد (Kahn وجماعته، 13) أن جزيئة الأنزيم المنقى من دم الإنسان تحوي حوالي (18). Gronenborn مجموعة سلفيديريل (-SH)، وبين (Gronenborn وجماعته، 10) أن الأنزيم المنقى من خميرة *Saccharomyces cerevisiae* يحوي الحامض الأميني (Lysine) في موقعه الفعال بشكل متتابع ما بين الحامض الأميني (93 - 100) في جزيئة الأنزيم، وتشكل مجموعة (- amino - E) لهذا الحامض نقطة الرابط ما بين ( $\text{NADP}^+$ ) والمادة

### المواد وطرق العمل

3 - محلول خلات الصوديوم الدارئ بتركيز 1 مولار بمدى قيم اس هيدروجيني كانت بين 5.0 - 6.5 "ومحلول (Tris - HCL) الدارئ بتركيز 1 مولار بمدى قيم اس هيدروجيني كانت بين 7.0 - 9.0، وجرى تقدير الفعالية الانزيمية بوساطة المحاليل الدارئة المحضرة ورسمت العلاقة بين فعالية الإنزيم (وحدة / ملتر) تجاه قيم اس الهيدروجيني المختلفة لتعيين اس الهيدروجيني الامثل لفعالية الإنزيم المنقى، وتم تعين اس الهيدروجيني الامثل لثبات الإنزيم بمزج 0.3 ملتر من إنزيم (G6PD) الامثل لثبات الإنزيم بمزج 0.3 ملتر (Osborn و Weber، 33) قبل (Osborn و Weber، 33) تعين اس الهيدروجيني الامثل لفعالية وثبات الإنزيم بمقدار 0.3 ملتر من المحاليل الدارئة الواردة ذكرها سابقاً في انبني اختبار وجرى حضنها في حمام مائي بدرجة حرارة 25 لمندة 30 دقيقة، بعدها نقلت الانباني إلى حمام ثلجي وقدرت الفعالية الانزيمية المتبقية باستخدام المحلول الدارئ الامثل لفعالية الإنزيم ورسمت العلاقة الخطية بين الفعالية المتبقية لأنزيم (%) تجاه قيم اس

تقدير الفعالية الانزيمية:

قدرت الفعالية الانزيمية تبعاً للطريقة التي

قام بوصفها (Bergmeyer، 4).

تقدير تركيز البروتين:

استخدمت الطريقة التي وصفها (Lowry

وجماعته، 17).

تعين الوزن الجزيئي

ابتعد طريقة الترحيل الكيربائي بهلام متعدد

الاكربيل امайд بوجود العوامل الماسخة الموصوفة

من قبل (Osborn و Weber، 33).

تعين اس الهيدروجيني الامثل لفعالية وثبات الإنزيم

استخدمت محاليل دارئة بتركيز 1 مولار بمدى

قيم اس هيدروجيني تراوحت بين 3.0 - 9.0 في تعين

اس الهيدروجيني الامثل لفعالية وثبات الإنزيم، وشملت

هذه المحاليل كل من محلول سترات الصوديوم الدارئ

بتركيز 1 مولار بمدى قيم اس هيدروجيني كانت بين 4.5

75، 90 دقيقة، وبرد المزيج بعدها بوساطة حمام ثلجي وقدرت الفعالية الانزيمية المتبقية.

#### تأثير الخزن في فعالية الانزيم

جرت متابعة يومية لفعالية الانزيمية المتبقية

لانزيم (G6PD) المنقى من خل خزنه بدرجات حرارة مختلفة بلغت -18، 4، 25 و لمدة 7 أيام.

تأثير بعض كلوريدات المعادن في فعالية الانزيم

استخدمت العديد من كلوريدات المعادن شملت

كلوريد المغنيسيوم  $MgCl_2$ ، كلوريد الالمنيوم  $AlCl_3$

كلوريد النikel  $NiCl_2$  وكلوريد الحديدوز  $FeCl_2$

بتركيز بلغت 1، 5، 10 ملي مolar لكل منها، اذ

جرى اضافتها الى مزيج التفاعل وقدرت الفعالية الانزيمية.

#### تأثير المواد الكيميائية في فعالية الانزيم

استخدمت عدة مواد كيميائية شملت

Sodium citrate، EDTA،  $NaCO_3$ ،  $CaCO_3$

2 - Thio urea، Sodium azide

1 - fluro - 2,4 - Mercaptoethanol

Pyridoxal 5 - phosphate، dinitrobenzene

بتركيز 0.1، 1، 10 ملي مolar لكل منها، اذ جرى

اضافتها الى مزيج التفاعل وقدرت الفعالية الانزيمية.

#### تعيين الثوابت الحركية

جرى تعيين ثابت ميكالس ( $K_m$ ) والسرعة

القصوى ( $V_{max}$ ) لانزيم المنقى تجاه (G-6-P).

بتركيز كانت بين 0.1 - 1.0 ملي مolar بوجود

( $NADP^+$ ) بتركيز 0.5 ملي مolar، وتجاه ( $NADP^+$ )

بتركيز كانت بين 0.1 - 1.0 ملي مolar بوجود (G-6-

P) بتركيز 0.5 ملي مolar، وجرى تقدير الفعالية

انزيمية ورسمت العلاقة الخطية بين السرعة الاولية

لتفاعل الانزيم المنقى ( $V$ ) وتراكيز المواد الاساس ( $S$ )

بطريقة Lineweaver - Burk Plot، اذ حسبت قيم

ثابت ميكالس ( $K_m$ ) والسرعة القصوى ( $V_{max}$ ) لانزيم

المنقى (Segel, 27) واستخرج المعدل العام لهذه القيم.

البيروجيني المختلفة لتعيين الاس البيروجيني الامثل لثبات الانزيم المنقى.

تعيين درجة الحرارة المثل لفعالية وثبات الانزيم وتعيين

#### طاقة التشغيل

عينت درجة الحرارة المثل لفعالية الانزيم

بحضن 2.5 ملتر من محلول مزيج التفاعل الحاوي على

المحلول الدارئ الامثل لفعالية الانزيم المنقى بدرجات

حرارة مختلفة قدرها 25، 30، 35، 40، 45، 50، 55،

60، 65، 70، 75، 80 في انبوب اختبار لمدة 10 دقائق

ثم اضيف لها 0.2 ملتر من محلول انزيم (G6PD)

المنقى تبعها اضافة 0.3 ملتر من محلول المادة

الاساس (G-6-P) بصورة مباشرة، وقدرت الفعالية

انزيمية ورسمت العلاقة الخطية بين فعالية انزيم

(G6PD) المنقى تجاه درجات الحرارة المختلفة لتعيين

درجة الحرارة المثل لفعالية الانزيم، وجرى تقدير طاقة

التشغيل لتحويل المادة الاساس الى ناتج من خلل رسم

لوغاريثم ثابت السرعة الملاحظ (Kobs)

reaction rate لتفاعل والمقدار بوساطة انزيم (G6PD)

المنقى بقياس سرعة التفاعل للانزيم عند درجة حرارة

كانت بين 25 - 80 متجاه مقلوب درجة الحرارة المطلقة

(K) بتطبيق معادلة ارينوس وميل المنحنى المرسوم

(Segel, 28)، بينما حددت درجة الحرارة المثل لثبات

الانزيم بتوزيع 0.2 ملتر من محلول الدارئ الامثل لثبات

الانزيم ذي الاس بيروجيني مقداره 6.5 في انبوب اختبار،

بعدها حضنت بدرجات حرارة مختلفة قدرها 35، 40،

45، 50، 55، 60، 65، 70 لفترة 10 دقائق ثم اضيف

لها 0.2 ملتر من محلول انزيم (G6PD) المنقى

وحضن المزيج لمدة 10 دقائق بعدها بردت الانابيب

بوساطة حمام ثلجي وجرى تقدير الفعالية انزيمية

ورسمت العلاقة الخطية بين فعالية الانزيم المتبقية (%)

تجاه درجات الحرارة المختلفة لتعيين درجة الحرارة المثل

لثبات الانزيم، كذلك فقد مزج 0.2 ملتر من محلول

الدارئ الامثل لثبات الانزيم مع 0.2 ملتر من محلول

انزيم (G6PD) في انبوبة اختبار، بعدها حضن المزيج

درجة حرارة 50 لمدد زمنية قدرها 15، 30، 45، 60،

## النتائج والمناقشة

بوجود العوامل الماسحة، وأشار Jeffery وجماعته،<sup>12</sup> إلى أن الأنزيم المنقى من خميرة *Pichia jadinii* امتلك وزناً جزيئياً مقداره 59.4 كيلودالتون مقدراً بطريقة الترحيل الكيرباتي، بينما ذكر Broek وجماعته،<sup>6</sup> أن الوزن الجزيئي للأنزيم المنقى من فطر *Aspergillus niger* بلغ 58.95 كيلودالتون مقدراً بطريقة الترحيل الكيرباتي بهلام متعدد الاكريل امайд بوجود العوامل الماسحة.

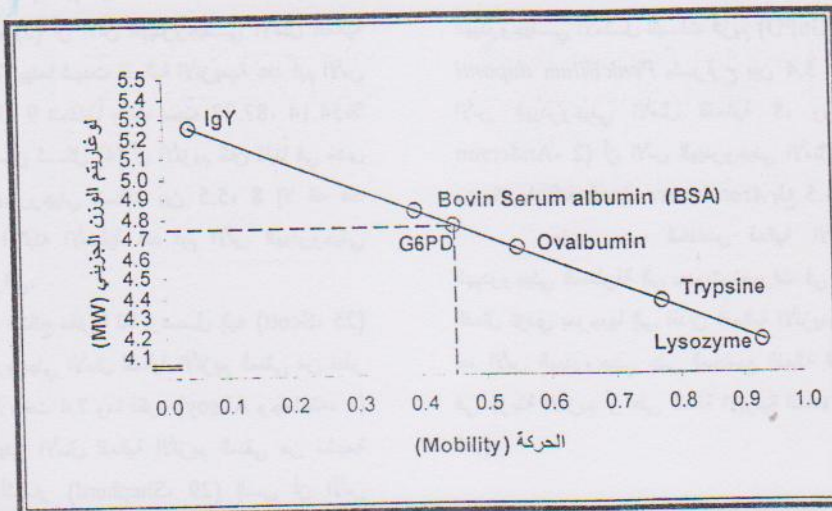
تحتاج قيمة الوزن الجزيئي لأنزيم (G6PD) تتبعاً للطريقة المستخدمة في تقديره، إذ يتتألف هذا الأنزيم من أربع وحدات متماثلة في الوزن الجزيئي من قبل Gronenborn) وجماعته،<sup>10</sup> وعلىه فإن تقدير الوزن الجزيئي بطريقة الترحيل الكيرباتي بهلام متعدد الاكريل امайд بوجود العوامل الماسحة تعطي الوزن الجزيئي للوحدة الواحدة من جزيئة الأنزيم والتي تظهر بشكل حزمة بروتينية واحدة بسبب امتلاك الوحدات الأربع من الأنزيم لنفس الوزن الجزيئي وهذا ما تم ملاحظته من خلال الترحيل الكيرباتي، شكل (2).

## تقدير الوزن الجزيئي

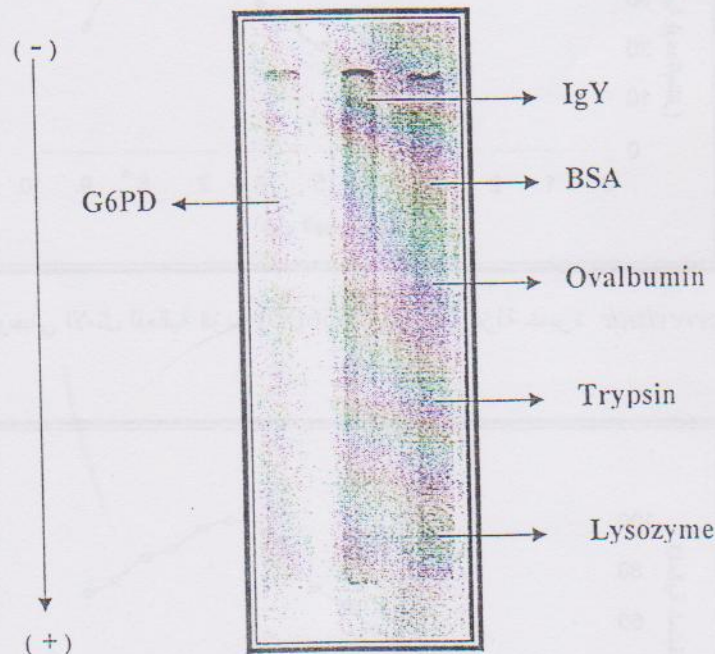
قدر الوزن الجزيئي لأنزيم (G6PD) المنقى باتباع طريقة الترحيل الكيرباتي بهلام متعدد الاكريل امайд بوجود العوامل الماسحة باستخدام البروتينات القياسية المتماثلة بـ Lysozyme، Bovine serum albumin، Ovalbumin، Trypsin IgY ذات أوزان جزيئية مقدارها 14.4، 23، 43، 67، 180 كيلودالتون على التوالي.

رسمت العلاقة الخطية بين الحركة Mobility ولوغاريتmic الوزن الجزيئي للبروتينات القياسية المستخدمة في تقدير الوزن الجزيئي لأنزيم المنقى، شكل (1) والذي بلغ 56 كيلودالتون.

جاءت هذه القيمة ضمن المدى المذكور من قبل Gronenborn (Gronenborn وجماعته، 10) والتي تتراوح بين 22 - 58 كيلودالتون لأنزيم المنقى من خميرة *Saccharomyces cerevisiae*، إذ وجد Scott،<sup>25</sup> أن الوزن الجزيئي لأنزيم المنقى من فطر *Neurospora crassa* بلغ 57 كيلودالتون مقدراً بطريقة الترحيل الكيرباتي بهلام متعدد الاكريل امайд



شكل (1): المنحنى القياسي لتقدير الوزن الجزيئي لأنزيم (G6PD) المنقى من عزلة خميرة *Saccharomyces cerevisiae* Sc1 بتقنية الترحيل الكهربائي ببلاستيك متعدد الاكريل امايد بوجود العوامل الماسحة للبروتين.



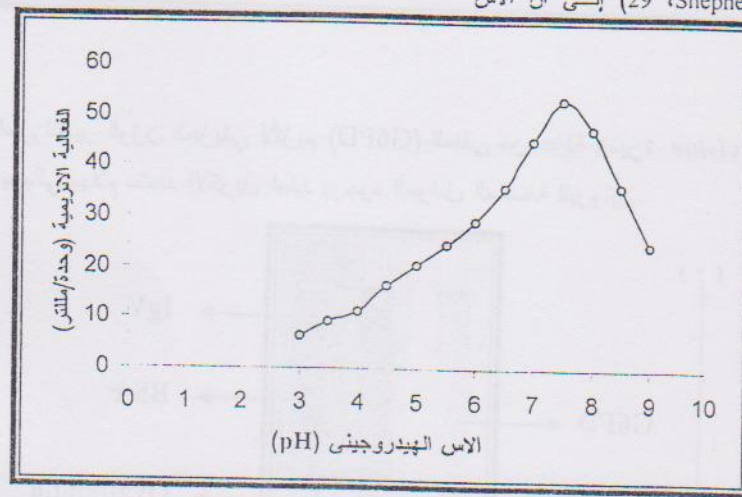
شكل (2): تقدير الوزن الجزيئي لأنزيم (G6PD) المنقى من عزلة خميرة *Saccharomyces cerevisiae* Sc1 بتقنية الترحيل الكهربائي ببلاستيك متعدد الاكريل امايد بوجود العوامل الماسحة للبروتين.

البيدروجيني الأمثل لثبات إنزيم (G6PD) المنقى من فطر *Penicillium duponti* يتراوح بين 5.4 - 7 في حين كان الإنزيم البيدروجيني الأمثل للفعالية 8، ووجد (Anderson, 1992) أن الإنزيم البيدروجيني الأمثل للفعالية الإنزيم المنقى من بكتيريا *Azotobacter vinelandii* بلغ 8.5.

يعزى سبب انخفاض فعالية الإنزيم عند قيم الإنزيم البيدروجيني المتطرفة إلى حدوث تغيرات في هيئة الإنزيم أو الموضع الفعال تؤدي بموجتها إلى فقدان الفعالية الأنزيمية، إذ يؤثر التغيير في قيمة الإنزيم البيدروجيني على المجاميع الفعالة القابلة للتأين والمتقدمة في جزيئه الإنزيم أو على الحالة الأيونية للمادة الأساسية (Whitaker, 1984).

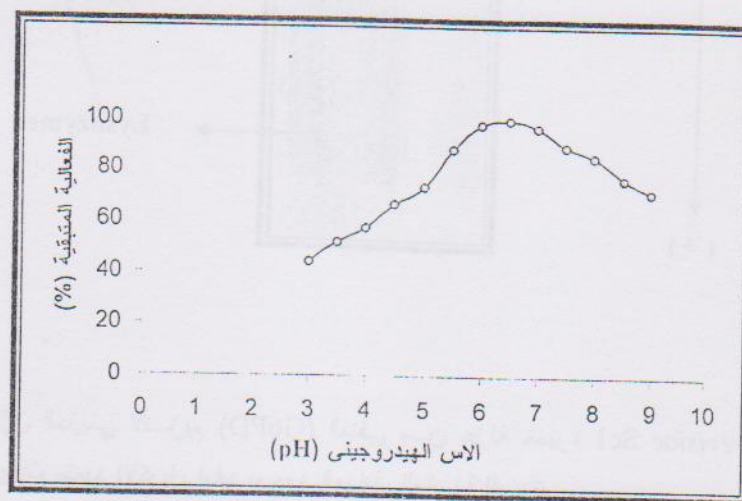
تأثير الإنزيم البيدروجيني (pH) في فعالية وثبات إنزيم (G6PD) ظهر شكل (3) أن الإنزيم البيدروجيني الأمثل لفعالية إنزيم (G6PD) بلغ 7.5، بينما شهدت الفعالية الأنزيمية عند قيم الإنزيم البيدروجيني المتطرفة 3، 9 انخفاضاً بلغت نسبته 54.14%، 87.97% على التوالي، ويلاحظ من شكل (4) أن الإنزيم كان ثابتاً في مدى واسع من قيم الإنزيم البيدروجيني كانت بين 5.5، 8 إلا أنه فقد فعاليته الأصلية عند قيم الإنزيم البيدروجيني المتطرفة 3، 9 على التوالي.

جاءت هذه النتائج مقاربة لما توصل إليه (Scott, 1925) من أن قيمة الإنزيم البيدروجيني الأمثل لفعالية الإنزيم المنقى من فطر *Neurospora crassa* بلغت 7.4 وما ذكره (Aksoy وجماعته، 1991) من أن الإنزيم البيدروجيني الأمثل لفعالية الإنزيم المنقى من مشيمة الإنسان بلغ 7.8، وأشار (Shepherd, 1929) إلى أن الإنزيم



شكل (3): منحنى الإنزيم البيدروجيني الأمثل لفعالية إنزيم (G6PD) المنقى من عزلة خميرة *Saccharomyces cerevisiae*

.Sc1



شكل (4): منحنى الإنزيم البيدروجيني الأمثل لثبات إنزيم (G6PD) المنقى من عزلة خميرة *Saccharomyces cerevisiae*

.Sc1

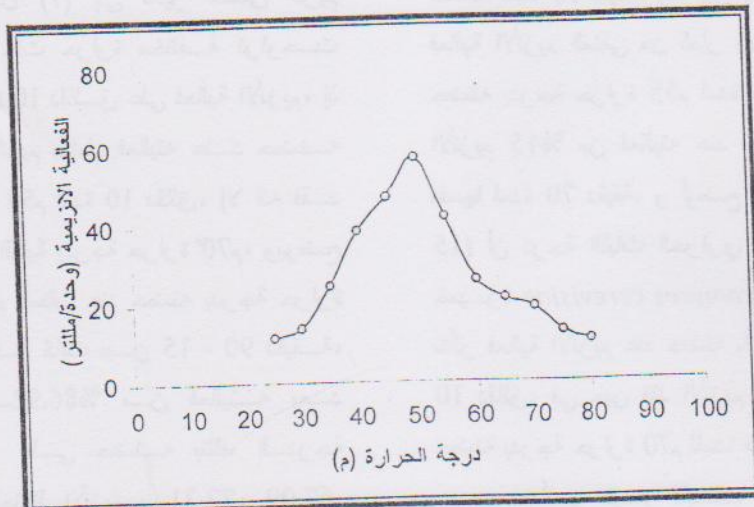
## تأثير درجة الحرارة في فعالية وثبات إنزيم (G6PD) وتعيين طاقة التنشيط

أن درجة الحرارة المثلث لفعالية إنزيم (G6PD) المنقى من مشيمة الإنسان كانت 50 م.

يؤدي ارتفاع درجات الحرارة إلى حصول تغيرات واضحة في مكونات التفاعل التي تضم كل من الإنزيم والمادة الأساسية (White وجماعته، 35)، مما يؤدي إلى حصول زيادة مستمرة في فعالية الإنزيم بسبب زيادة فرص حدوث التصادمات Collisions نتيجة لزيادة الطاقة الحركية Kinetic Energy لجزيئات المواد المتفاعلة بفعل تأثير درجات الحرارة، إلا أن ارتفاع درجة الحرارة عن الدرجة الحرارية المثلث للتفاعل تؤدي إلى حدوث انخفاض في الفعالية الإنزيمية بسبب تأثيرها بشكل سلبي في مكونات التفاعل (Whitaker، 34).

يشير شكل (5) إلى حصول زيادة واضحة في الفعالية الإنزيمية بازدياد درجة حرارة التفاعل حتى بلغت أقصاها عند درجة حرارة 50 م، ثم انخفضت الفعالية بشكل تدريجي حتى بلغت 18.04% من فعالية الإنزيم القصوى عند درجة حرارة 80 م.

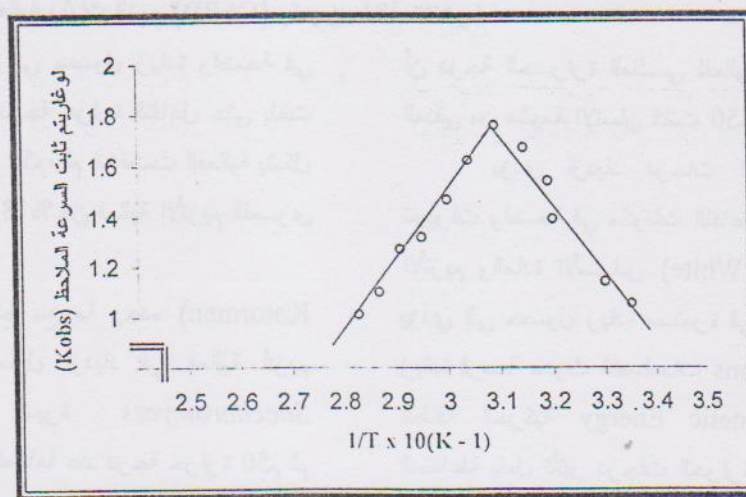
انتفقت هذه النتائج مع ما وجده (Kotorman وجماعته، 15) من حصول ارتفاع في فعالية إنزيم (G6PD) المنقى من خميرة *Saccharomyces cerevisiae* حتى بلغت أقصاها عند درجة حرارة 50 م ثم انخفضت لتصل إلى 73.5% من الفعالية القصوى عند درجة حرارة 80 م، وأشار (Aksoy وجماعته، 1) إلى



شكل (5): منحنى درجة الحرارة المثلث لفعالية إنزيم (G6PD) المنقى من عزلة خميرة *Saccharomyces cerevisiae* .Sci

وجماعته، 15) من قيمة طاقة تنشيط بلغت 11.8 كيلوسعرة / مول للإنزيم المنقى من خميرة *Saccharomyces cerevisiae*، وتبينت مع كل ما وجده (Shepherd، 29) من أن قيمة طاقة التنشيط للإنزيم المنقى من فطر *Penicillium duponti* قد بلغت 9.57 كيلوسعرة / مول، وما أشار إليه (Aksoy وجماعته، 1) من حصولهم على قيمة طاقة تنشيط بلغت 8.16 كيلوسعرة / مول للإنزيم المنقى من مشيمة الإنسان.

يظهر شكل (6) العلاقة بين لوغاریتم سرعة تفاعل إنزيم (G6PD) ومقلوب درجة الحرارة المطلقة طبقاً لمعادلة أرينوس، إذ بلغت قيمة طاقة التنشيط اللازمة لتحويل المادة الأساسية إلى ناتج 12.3 كيلوسعرة / مول، وتعد هذه القيمة ضمن المدى المعروف لقيم طاقة التنشيط (Ea) لتفاعلات تحويل المادة الأساسية إلى ناتج وتقع بين 6 - 15 كيلوسعرة / مول (Whitaker، 34). وقد تقارب هذه النتائج مع ما حصل عليه (Kotorman)



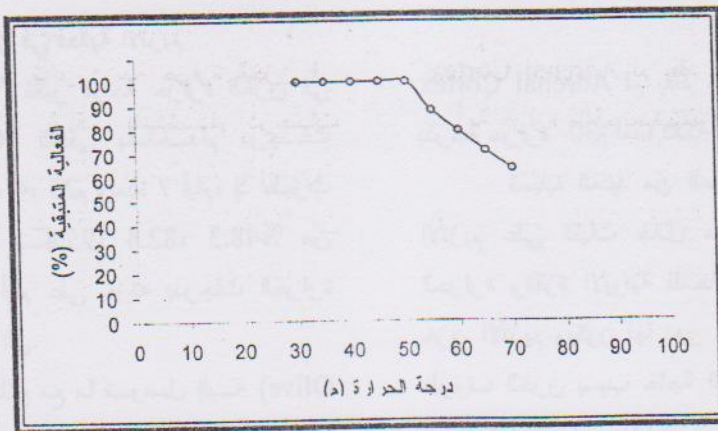
شكل (6): منحنى أرينيوس لتقدير طاقة التنشيط لأنزيم (G6PD) المنقى من عزلة خميرة *Saccharomyces cerevisiae* .Sc1

حضنه لمدة 70 دقيقة، كما بين (32) أن فعالية الأنزيم المنقى من ثمار زيت النخيل لم تتأثر لدى حضنه بدرجة حرارة 55°C لمدة 5 دقائق، في حين فقد الأنزيم 15% من فعاليته عند حضنه بالدرجة الحرارية نفسها لمدة 70 دقيقة، وأوضح (Kotorman)، أن درجة الثبات الحراري للأنزيم المنقى من خميرة *Saccharomyces cerevisiae* بلغ 50°C ولم تتأثر فعالية الأنزيم عند حضنه بتلك الدرجة الحرارية لمدة 10 دقائق، في حين فقد الأنزيم 31% من فعاليته عند حضنه بدرجة حرارة 70°C للمرة الثانية نفسها.

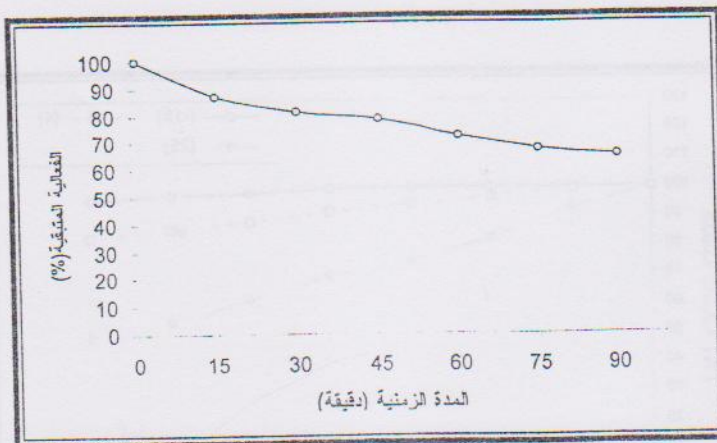
تتأثر قيم الثبات الحراري للأنزيمات غالباً بعوامل عدة منها القوة الأيونية للمحلول الداري (Wilder، 36) أو تخصص المادة الأساسية أو العامل المرافق (Eriksson و Svensson، 30) أو وجود مواد أخرى مع الأنزيم (Whitaker، 34) أو الأس الهيدروجيني للوسط (Segel، 28) أو الوزن الجزيئي للأنزيم (McLellan و Robinson، 20).

يشير شكل (7) إلى تأثير حضن أنسيم (G6PD) المنقى بدرجات حرارة مختلفة تراوحت بين 30 - 70°C لمدة 10 دقائق على فعالية الأنزيم، إذ يبين الشكل احتفاظ الأنزيم بكامل فعاليته عند حضنه بدرجات حرارة 30 - 50°C لمدة 10 دقائق، إلا أنه فقد 36.54% من فعاليته الكلية بدرجة حرارة 70°C، ويوضح شكل (8) ثبات الأنزيم المنقى عند حضنه بدرجة حرارة 50°C لمدة زمنية مختلفة كانت بين 15 - 90 دقيقة، إذ احتفظ الأنزيم بـ 86.92% من فعاليته بعد مرور 15 دقيقة على حضنه بتلك الدرجة الحرارية، بينما احتفظ الأنزيم بـ 67.09، 72.31، 75، 75، 90 دقيقة على التوالي.

اتفقت النتائج المشار إليها مع ما توصلت إليه العديد من الدراسات المتعلقة بالثبات الحراري للأنزيم (G6PD)، إذ أشار (Shepherd، 29) إلى أن درجة الثبات الحراري للأنزيم المنقى من فطر *Penicillium dupontii* بلغت 50°C ولم تتأثر الفعالية لدى حضن الأنزيم بتلك الدرجة الحرارية لمدة 10 دقائق، بينما فقد 22% من فعاليته في الدرجة الحرارية ذاتها عند



شكل (7): منحنى الثبات الحراري لأنزيم (G6PD) المنقى من عزلة خميرة *Saccharomyces cerevisiae* Sc1  
والمحضن بدرجات حرارة 30 - 70 م لمندة 10 دقائق.



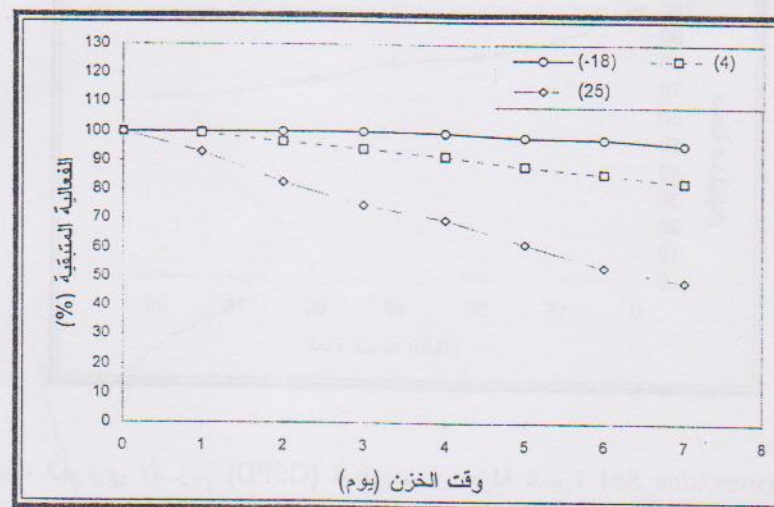
شكل (8): منحنى الثبات الحراري لأنزيم (G6PD) المنقى من عزلة خميرة *Saccharomyces cerevisiae* Sc1  
والمحضن بدرجة حرارة 50 م لمندة زمانية كانت بين 15 - 90 دقيقة

لم يفقد شيئاً من فعاليته عند خزن Adrenal Cortex بدرجة حرارة -30°C لمدة ثلاثة أشهر. تسبب العديد من العوامل المداخلة تحديد قدرة الأنزيم على الثبات خلال مدة الخزن، إذ تعد درجة الحرارة والقوة الأيونية للمحاليل الدارئة المستخدمة في خزن الأنزيم ويكون لها دور كبير في ثبات الأنزيم تحت ظروف الخزن بسبب حاجة الشكل الفعال لجزيئه الأنزيم إلى قوة أيونية محددة تضمن بقائه بشكل ملائم لاتمام عملية الربط والتحليل، إضافة إلى الأنواع الجزيئية Molecular Species والتي تعد من أهم العوامل التي تحدد ثبات الأنزيم خلال مدة الخزن (Heidrich وجماعته، 1991).

#### تأثير درجة حرارة الخزن في فعالية الأنزيم

يبين شكل (9) تأثير درجة حرارة الخزن في فعالية أنزيم (G6PD) المنقى باستخدام درجات حرارة مختلفة -18°C، 4°C، 25°C ولمدة 7 أيام، إذ أظهرت النتائج احتفاظ الأنزيم بـ 95.4% من 48.3% من فعاليته بعد مرور 7 أيام على خزنه بدرجات الحرارة السابقة الذكر وعلى التوالي.

اتفقت هذه النتائج مع ما توصل إليه (Olive و Levy، 1992) من أن أنزيم (G6PD) المنقى من بكتيريا *Leuconostoc mesenteroides* فقد 7% من فعاليته الأصلية الابتدائية بعد مرور شرين، عند خزنه بدرجة حرارة -20°C، أما (McKerns، 1991) فقد أشار إلى أن أنزيم (G6PD) المنقى من



شكل (9): تأثير درجة حرارة الخزن في فعالية أنزيم (G6PD) المنقى من عزلة خميرة *Saccharomyces cerevisiae* Sc1 المخزون بدرجات حرارة -18°C، 4°C، 25°C لمدة 7 أيام.

## تأثير كلوريدات المعادن في فعالية الأنزيم

أن إضافة هذا الأيون بنفس النسبة بحدود قيم آس ديدروجيني مختلف لا يعمل على إحداث زيادة في الفعالية، وأشار (Chilla و Domagk، 9) إلى أن إضافة أيون المغنيسيوم بتركيز 10 ملي مolar إلى الأنزيم المنقى من خميرة *Candida duponti* أعطى فعالية كاملة، في حين أظهرت النتائج المستحصل عليها للأنزيم (G6PD) حصول انخفاض في فعاليته بنسبة 97% عند استخدام تركيز 10 ملي مolar من أيون المغنيسيوم، وبين (Utarabhand، 32) أن كلوريد المغنيسيوم وكلوريد المنغنيز يعملان على تشطيط فعالية الأنزيم المنقى من ثمار زيت النخيل عند استخدامهما بتركيز 1، 5 ملي مolar، لكنها تعمل على تشطيط فعاليته عند استخدامهما بتركيز 10، 15، 20 ملي مolar وبنسبة متفاوتة.

انخفضت الفعالية الأنزيمية بنسبة 85.45، 92.03، 97.14% عند استخدام كلوريد الألمنيوم بتركيز 1، 5، 10 ملي مolar على التوالي، وعند استخدام كلوريد النيكل بتركيز 1، 5، 10 ملي مolar فقد الأنزيم 32.72، 51.61، 65.08% من فعاليته على التوالي، بينما انخفضت الفعالية الأنزيمية بمقدار 39.48، 55.69% عند استخدام كلوريد الحديدوز بتركيز 1، 5، 10 ملي مolar على التوالي.

جاءت هذه النتائج مشابهة لما أشار إليه (Cho و Joshi، 8) إلى أن أيونات  $Al^{+3}$  بتركيز 10 ملي مolar تعمل على تشطيط الأنزيم المنقى من *Saccharomyces cerevisiae* بشكل كامل بسبب ارتباطها بالموقع الفعال وبالتالي تغيير هيئة الأنزيم ومنع ارتباطه مع المادة الأساسية، أما (Cartana و جماعته، 7) فقد أشاروا إلى أن كلوريد النيكل له تأثير تشططي على فعالية أنزيم (G6PD) المنقى من *Saccharomyces cerevisiae* ، إذ يد هذا النوع من التشطيط أحد أنواع التشطيط التناصفي Competitive Inhibitors حيث يكون المثبط القدرة على الارتباط بالأنزيم الحر بسبب افتئه العالية ومن ثم التأثير على ارتباطه بالمادة الأساسية، وبين (Szweda)

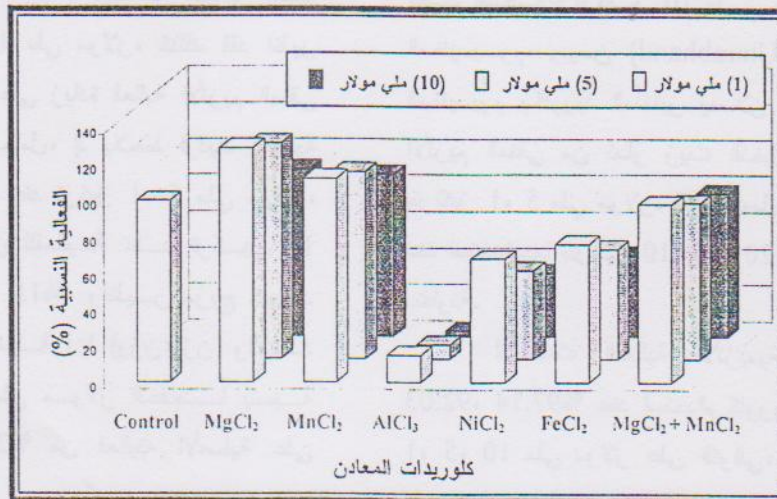
بوضوح شكل (10) تأثير عدد من كلوريدات المعادن في فعالية أنزيم (G6PD) المنقى التي اشتملت على كل من  $MnCl_2$ ,  $FeCl_2$ ,  $NiCl_2$ ,  $AlCl_3$ ,  $MgCl_2$  بتركيز 1، 5، 10 ملي مolar، إذ يلاحظ أن كلوريد المغنيسيوم كان له دور منشط في فعالية الأنزيم عند التراكيز 1، 5 ملي مolar مقارنة بالأنزيم غير المعامل، فقد ازدادت الفعالية بنسبة 28.91، 31.15% على التوالي، بينما انخفضت الفعالية بنسبة 7.21% عند تركيز 10 ملي مolar، كذلك فقد أظهر كلوريد المنغنيز قدرته على زيادة فعالية الأنزيم المنقى مقارنة بالأنزيم غير المعامل، إذ يلاحظ ازدياد الفعالية بنسبة 12.16، 3.02% عند تركيز 1، 5 ملي مolar، بينما حصل انخفاض للفعالية عند تركيز 10 ملي مolar بمقدار 11%， واظهر مزيج كلوريد المغنيسيوم والمنغنيز بنسبة 1:1 (وزن: وزن) والمعد بتركيز 1، 5، 10 ملي مolar انخفاضاً بنسبة 21.54، 14.71، 2.63% من فعاليته الأصلية على التوالي.

يعود السبب في زيادة فعالية الأنزيمات بوجود هذه الأيونات الثانية الشحنة إلى قدرتها على تكوين أواصر من نوع Co - Ordinate تنتج عنها مركبات معقدة ذات ثمانية أوجه يطلق عليها Octahedral يعزى الانخفاض الحاصل في الفعالية إلى أن الزيادة في تركيز هذه الأيونات يؤدي إلى تقليل الفعالية كذلك فإن أيون المنغنيز يتميز بكبر حجمه مقارنة بأيون المغنيسيوم وعليه فإنه قد يعمل على حجب الموقع الفعال لجزءه الأنزيم عن تمييز المادة الأساسية والارتباط بها وبالتالي عدم قدرة الأنزيم على إتمام عمله بشكل كامل (Whitaker، 34).

اتفقت النتائج المشار إليها مع ما توصل إليه (McKerns، 19) من أن أيون المغنيسيوم  $Mg^{+2}$  بتركيز 1 ملي مolar يسبب زيادة في فعالية الأنزيم المنقى من Cow Adrenal Cortex بنسبة 20% عند استخدام الأَس البيدروجيني الأمثل للفعالية، إلا

تقوم الأيونات المعدنية في الحفاظ على جزيئة الأنزيم والإسهام في زيادة فعاليته من خلال مشاركتها في تبادل الألكترونات أو تقويب الأنزيم والمادة الأساس من بعضها البعض بوساطة روابط معايدة -  $\text{Co}^{+2}$  - Ordinate bonds أو سك المجاميع المتفاعلة في الشكل Three Dimensional Orientation (34)، Whitaker.

و (31)، Stadtman أن معقد سترات الحديدوز من بكتيريا *Leuconostoc mesenteroides* يؤدي إلى تثبيط فعالية الأنزيم المنقى من بكتيريا *Leuconostoc mesenteroides* بسبب ارتباط هذا المعقد بالأحماض الأمينية الموجودة في الموقع الفعال وبالأخص الحامض الأميني الاليسين الذي يمتلك مجموعة amino - E، لذا فإن هذا الارتباط سيؤدي إلى حدوث أكسدة لهذا الحامض ومن ثم تغيير هيئة الموقع الفعال مما يؤدي إلى تقليل الفعالية.



شكل (10): تأثير كلوريدات المعادن في فعالية إنزيم (G6PD) المنقى من عزلة خميرة *Saccharomyces cerevisiae* Scl بتركيز تراوحت بين 0.1 ، 1 ، 10 ملي مولار.

12.14 ، 15.47 % على التوالي، وقد جاءت هذه النتائج مشابهة لما أشار إليه Levy و Olive (22) من حصول زيادة في فعالية إنزيم (G6PD) المنقى من بكتيريا *Leuconostoc mesenteroides* عند استخدام الكاربونات  $\text{HCO}_3^-$  بشكل  $\text{CaCO}_3$  ،  $\text{NaCO}_3$  ، إذ بلغت الزيادة في الفعالية بنسبة 12.2 ، 14.9 % على التوالي عند استخدام تركيز 10 ملي مولار.

أظهرت العوامل المعدنية الرابطة Metal Binding Agents تأثيراً واضحاً في فعالية الإنزيم، إذ انخفضت الفعالية عند استخدام مركب EDTA بتركيز 0.1 ، 1 ، 10 ملي مولار بنسبة 56.43 ، 31.69 ، 80.84 % على التوالي، في حين شهدت الفعالية الأنزيمية

تأثير المواد الكيميائية في فعالية الإنزيم (1) تأثير مجموعة من المواد الكيميائية في فعالية إنزيم (G6PD) المنقى والمستخدمة بتركيز 0.1 ، 1 ، 10 ملي مولار، وقد أظهرت النتائج حصول انخفاض بنسبة الفعالية الأنزيمية بشكل متفاوت وحسب التركيز لجميع المواد المستخدمة في هذه الدراسة باستثناء كل من  $\text{NaCO}_3$  ،  $\text{CaCO}_3$  التي أعطت زيادة في الفعالية الأنزيمية مقارنة بالمواد الأخرى، إذ ازدادت الفعالية الأنزيمية بمقدار 3.74 ، 9.13 ، 13.05 % بوجود  $\text{CaCO}_3$  بتركيز 0.1 ، 1 ، 10 ملي مولار على التوالي، بينما حصلت زيادة في الفعالية الأنزيمية عند استخدام  $\text{NaCO}_3$  بتركيز 0.1 ، 1 ، 10 ملي مولار بنسبة 6.36 ،

إلى وجود أيون المغنيسيوم الذي يعمل على المساعدة في إتمام التفاعل وعليه فان وجود هذه العوامل تؤدي إلى مسك هذا الأيون ومن ثم تقليل الفعالية الأنزيمية (North, 21).

انخفضت الفعالية بشكل واضح عند استخدام (2 - Mercaptoethanol) بنسبة 40.29, 66.38, 75.86% وبتراكيز 0.1, 1, 10 ملي مolar على التوالي، وهذا يدل على أن أنزيم (G6PD) يتاثر بوجود هذا المركب بسبب احتواء الموقع الفعال فيه على مجموعتين من السلفهيدريل (-SH) (McKerns, 19).

وشهدت الفعالية الأنزيمية انخفاضاً ملحوظاً بوجود مركب (1 - fluro - 2,4 - dinitrobenzene) الذي يكون تأثيره على الأنزيم بشكل غير عكسي، إذ انخفضت الفعالية بنسبة 26.04, 48.17, 67.34% عند تراكيز 0.1, 1, 10 ملي مolar على التوالي، وقد تقارب هذه النتائج مع ما توصل اليه (Olive و Levy, 22) من أن فعالية الأنزيم المنقى من بكتيريا *Leuconostoc mesenteroides* قد انخفضت بنسبة 52, 89% عند استخدام هذا المركب بتراكيز 1, 10 ملي مolar على التوالي، وأشار المصدر ذاته إلى حدوث انخفاض في فعالية أنزيم (G6PD) بنسبة 40, 41, 81, 92% عند استخدام مركب (5 - Pyridoxal phosphate) وهذا ما لاحظه الباحثان من خلال النتائج المستحصل عليها، إذ حصل انخفاض في الفعالية الأنزيمية بنسبة 37.86, 78.67, 86.42% عند استخدام التراكيز ذاتها وعلى التوالي، إذ يعد هذا المركب مثبط تنافسي مع (G6P) وغير تنافسي مع العامل المساعد (NAD<sup>+</sup>) أو (NADP<sup>+</sup>) (Levy و Olive, 22).

انخفاضاً واضحاً عند استخدام Sodium citrate بلغت نسبة 48.74, 70.65, 91.87% بالتراكيز السابقة الذكر على التوالي، وعند استخدام Sodium azide بتراكيز 0.1, 1, 10 ملي مolar انخفضت الفعالية بنسبة 12.74, 34.29, 55.62% على التوالي، في حين شهدت الفعالية انخفاضاً واضحاً عند استخدام Thio urea بالتراكيز نفسها بنسبة 24.97, 69.66, 82.79% على التوالي.

جاءت هذه النتائج مشابهة لما أشار إليه Cow (19) من أن الأنزيم المنقى من Adrenal Cortex يثبط بوساطة العوامل المعدنية *p - Chloromercuribenzoate* (PCMB) التي تعمل على منع مجموعة السلفهيدريل (-SH) الموجودة في بداية الموضع الفعال من الارتباط بـ (NADP<sup>+</sup>), إلا أن وجود تراكيز إضافية من (NADP<sup>+</sup>) و (G6P) تعمل على توفير حماية كاملة للأنزيم من تأثير (PCMB)، كما أشار Szweda و Stadtman (31) إلى أن مركبات السerras تعمل على تثبيط فعالية أنزيم (G6PD) المنقى من بكتيريا *Leuconostoc mesenteroides*، إذ انخفضت الفعالية Sodium citrate بنسبة 48% عند استخدام بتراكيز 5, 10 ملي مolar على التوالي، في حين بين (Utarabhand, 32) أن الأنزيم المنقى من ثمار زيت النخيل فقد 28, 49, 78% من فعاليته عند استخدامه بتراكيز 0.1, 1, 10 ملي مolar على التوالي.

تؤدي العوامل المعدنية الرابطة دوراً كبيراً في تثبيط فعالية الأنزيمات التي يشكل فيها أيون المعدن جزءاً أساسياً من تركيب الموضع الفعال أو تلك الأنزيمات التي تحتاج في عملها إلى وجود هذا الأيون لا تمام فعلها على أكمل وجه كما في أنزيم (G6PD) الذي يحتاج في عمله

جدول (1): تأثير المواد الكيميائية في فعالية إنزيم (G6PD) المنقى من عزلة خميرة *Saccharomyces cerevisiae* Sc1 بتركيز كانت بين 0.1، 1، 10 ملي مولار.

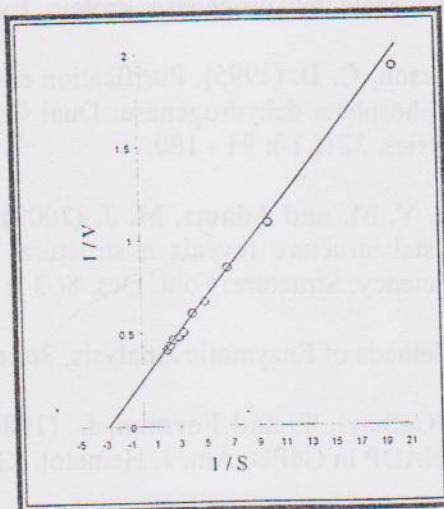
المواد الكيميائية	التركيز (ملي مولار)	الفعالية النسبية (%)
انزيم غير معامل	-	100
EDTA	0.1	68
EDTA	1	44
Sodium citrate	10	19
Sodium citrate	0.1	51
Sodium azide	1	29
Sodium azide	10	8
Sodium azide	0.1	87
Thiourea	1	66
Thiourea	10	44
CaCO <sub>3</sub>	0.1	75
CaCO <sub>3</sub>	1	30
CaCO <sub>3</sub>	10	17
NaCO <sub>3</sub>	0.1	104
NaCO <sub>3</sub>	1	109
NaCO <sub>3</sub>	10	113
NaCO <sub>3</sub>	0.1	106
NaCO <sub>3</sub>	1	112
NaCO <sub>3</sub>	10	116
I - fluoro - 2,4 - dinitro benzen	0.1	74
I - fluoro - 2,4 - dinitro benzen	1	52
I - fluoro - 2,4 - dinitro benzen	10	33
Pyridoxal 5 - phosphate	0.1	62
Pyridoxal 5 - phosphate	1	21
Pyridoxal 5 - phosphate	10	14
2 - mercapto ethanol	0.1	60
2 - mercapto ethanol	1	34
2 - mercapto ethanol	10	24

## الثوابت الحركية

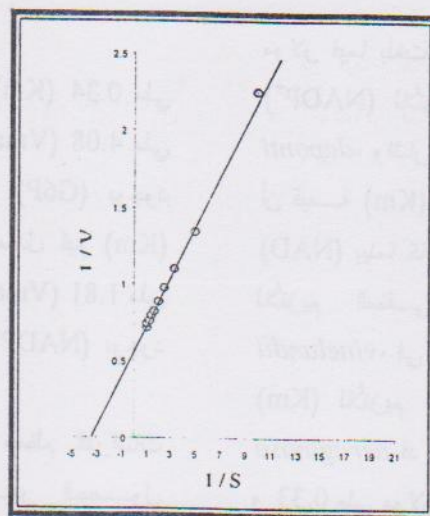
مولار فيما بلغت 0.16 ملي مولار تجاه (G6P) بوجود  $\text{NADP}^+$ ) للأنزيم المنقى من فطر *Penicillium duponti*, وأشار Anderson (Anderson, 2) إلى أن قيمة (Km) قد بلغت 0.22 ملي مولار تجاه (NADP $^+$ ) بينما كانت 0.5 ملي مولار تجاه (NAD) للأنزيم المنقى من بكتيريا *Azotobacter vinelandii*, في حين بين (Ma وجماعته, 18) أن قيمة (Km) للأنزيم المنقى من بكتيريا *Pseudomonas aeruginosa* قد بلغت 0.53 ملي مولار تجاه (NADP $^+$ ) و 0.33 ملي مولار تجاه (NADP $^+$ ).

بلغ معدل قيم ثابت ميكالس (Km) 0.34 ملي مولار بينما كانت السرعة القصوى (Vmax) 4.08 ملي مولار / دقيقة للأنزيم المنقى تجاه (G6P) بوجود (NADP $^+$ ) (شكل 11)، بينما بلغ معدل قيم (Km) 0.29 ملي مولار ومعدل قيم (Vmax) 1.81 ملي مولار / دقيقة للأنزيم المنقى تجاه (NADP $^+$ ) بوجود (G6P) (شكل 12).

نتباین قيم (Km) في معظم الدراسات بسبب اختلاف نوع الأنزيم ومصدر الحصول عليه، فقد أشار (Shepherd, 29) إلى أن قيمة تجاه (G6P) بوجود (NADP $^+$ ) بلغت 0.43 ملي



شكل (11): الثوابت الحركية للأنزيم Lineweaver - Burk plot (G6PD) المنقى من عزلة خميرة *Saccharomyces cerevisiae* Sc1 تجاه (G-6-P) بتركيز تراوحت بين 0.05 - 0.5 ملي مولار بوجود (NADP $^+$ ) بتركيز 0.25 ملي مولار.



شكل (12): الشواية الحركية لأنزيم Lineweaver - Burk plot (G6PD) المنقى من عزلة خميرة Saccharomyces cerevisiae Sc1 تجاه  $\text{NADP}^+$  بتركيز تراوحت بين 0.1 - 1 ملي مولار بوجود (G-6-P) بتركيز 0.5 ملي مولار.

#### المصادر

- Aksoy, Y.; Ogus, I. H. and Oauzer, N. (2001). Purification and some properties of human placental glucose - 6 - phosphate dehydrogenase. Protein. Expt. Purif. 21( 2 ): 286 - 292.
- Anderson, B. M. and Anderson, C. D. (1995). Purification and characterization of *Azotobacter vinelandii* glucose - 6 - phosphate dehydrogenase: Dual Coenzyme Specificity. Archives of Biochemistry and Biophysics. 321( 1 ): 94 - 100.
- Au, S. W.; Gover, S.; Lam, V. M. and Adams, M. J. (2000). Human glucose - 6 - phosphate dehydrogenase: The crystal structure reveals a structural  $\text{NADP}^+$  molecule and provides insights into enzyme deficiency. Structure. Fold. Des. 8( 3 ): 293 - 303.
- Bergmeyer, H. U. (1984). Methods of Enzymatic Analysis, 3rd ed. Verlag Chemie. Weinheim.
- Beutler, E.; Hartman, K.; Gelbart, T. and Forman, L. (1986). G6PD Walter Reed: Possible insight into "Structural"  $\text{NADP}$  in G6PD. Am. J. Hematol. 23: 25.
- Broek, P V. D.; Goosen, T.; Wennekes, B. and Braek, H. P. V. D. (1995). Isolation and characterization of the glucose - 6 - phosphate dehydrogenase encoding gen (gsd A) from *Aspergillus niger*. Molecular and General Genetics. 247(2): 229 - 239.
- Cartana, J.; Arola, L. and Romeu, A. (1989). Characterization of the inhibition effect induced by nickel on glucose - 6 - phosphate dehydrogenase and glutathione reductase. Enzyme. 41: 1 - 5.
- Cho, S. and Joshi, J. (1989). Inactivation of bakers yeast glucose - 6 - phosphate dehydrogenase by aluminum. Biochem. USA. 28: 3613.
- Domagk, G. F. and Chilla, R. (1975). Glucose - 6 - phosphate dehydrogenase from *Candida utilis*. In: Methods in Enzymology. (eds, W. A. Wood). Vol. XLI. Part B: 205 - 208.

- Gronenborn, A. M.; Clore, G. M.; Hobbs, L. and Jeffery, J. (1984). Glucose - 6 - phosphate dehydrogenase: A transferred nuclear overhauser enhancement study at NADP<sup>+</sup> conformations in enzyme – coenzyme binary complexes. *Eur. J. Biochem.* 145: 365 - 371.
- Heidrich, E.; Lorenz, C. and Schreier, P. (1983). Thin - layer isoelectric focusing of partially purified peroxidase from tomato fruit. *J. Food Chemistry.* 10: 285 - 296.
- Jeffery, J.; Persson, B.; Wood, I.; Bergman, T.; Jeffery, R. and Jornvall, H. (1993). Glucose - 6 - phosphate dehydrogenase: Structure - function relation ship and the *Pichia jadinii* enzyme structure. *Eur. J. Biochem.* 12(1): 41 - 49.
- Kahn, A.; Boivin, P and Lagneau, J. (1972). Etude cinetique et thermodynamique de la glucose - 6 - phosphate deshydrogenase erythrocytaire chez l'homme. Application a 7 variantes differentes de la race noire. *Biochimie.* 54: 775 - 785.
- Kahn, A.; North, M. L.; Cottreau, D; Giron, G. and Lang, J. M. (1978). G6PD Vientiane: A new glucose - 6 - phosphate dehydrogenase variant with increased stability. *Hum Genet.* 43: 85 - 89.
- Kotorman, M. Simon, L. M. and Szajani, B. (1994). Coenzyme production using immobilized enzyme. III: Immobilization for glucose - 6 - phosphate dehydrogenase from bakers yeast. *Enzyme and Microbial Technology.* 16(11): 974 - 978.
- Levy, H. R. (1985). The effect of oxidized glutathion on hibition of glucose - 6 - phosphate dehydrogenase is indirect. *Biochemical. J.* 231: 806 - 807.
- Lowry, O. H. Rosebrough, N. J.; Farr, A. L. and Randall, R. J. (1951). Protein measurement with the folin phenol reagent. *J. Biological Chem.* 193(1): 265 - 275.
- Ma, J. F.; Hager, P. W.; Howell, M. L.; Phibbs, P. V. and Hassett, D. J. (1998). Cloning and characterization of the *Pseudomonas aeruginosa* zwf gene encoding glucose - 6 - phosphate dehydrogenase, an enzyme important in resistance to methyl viologen (Paraquat). *J. Bacteriol.* 180(7): 1741 - 1749.
- McKerns, K. W. (1975). Glucose - 6 - phosphate dehydrogenase from cow adrenal cortex. In: *Methods in Enzymology.* (eds. W. A. Wood). Vol. XLI. Part B. 188 - 196.
- Mclellan, K. M. and Robinsson, D. S. (1987). The heat stability of purified spring cabbage peroxidase iso enzyme. *Food Chemistry.* 26: 97 - 107.
- North, M. J. (1982). Comparative biochimistry of the proteinases of eucaryotic microorganisms. *Microb. Rev.* 49: 308 - 340.
- Olive, C. and Levy, H. R. (1975). Glucose - 6 - phosphate dehydrogenase from *Leuconostoc mesenteroides*. In: *Methods in Enzymology.* (eds. W. A. Wood). Vol. XLI. Part B. 196 - 201.
- Ozols, J. (1993). Isolation and the complete amino acid sequence of luminal endoplasmic reticulum glucose - 6 - phosphate dehydrogenase. *Proceeding of the national academy of sciences of the United States of America.* 90(11): 5302 - 5306.
- Reilly, K. E. and Allred, J. B. (1995). Glucos - 6 - phosphate dehydrogenase from *Saccharomyces cerevisiae* is a glycoprotein. *Biochem. Biophys. Res. Commun.* 216(3): 993 - 998.
- Scott, W. A. (1975). Glucose - 6 - phosphate dehydrogenase from *Neurospora crassa*. In: *Methods in Enzymology.* (eds, W. A. Wood). Vol. XLI. Part B: 177 - 182.
- Segade, R.; Lgnacio, J.; Martines, R. and Fereire, M. (1985). Reversal effect of oxidized glutathione on the inhibition of glucose - 6 - phosphate dehydrogenase by NADPH. *Bio. Chemical. J.* 231: 805 - 806.
- Segel, I. H. (1975). Enzyme Kinetics, Behavior Analysis of Rapid Equilibrium and Steady state Systems. Wiley Interscience, New York.
- Segel, I. H. (1976). Biochemical Calculation, Jon Wiley and Sons, Inc. New York.
- Shepherd, M. G. (1975). Glucose - 6 - phosphate dehydrogenase from *Penicillium duponti*. In: *Methods in Enzymology.* (eds, W. A. Wood). Vol. XLI. Part B: 201 - 205.

- Svensson, S. G. and Eriksson, C. E. (1971). Thermal inactivation of lipoxygenase from peas (*Pisum sativum* L.). Lebensm. Wiss. U. Technal. 5(4): 118 - 123.
- Szweda, L. I. and Stadtman, E. R. (1993). Oxidative modification of glucose - 6 - phosphate dehydrogenase from *Leuconostoc mesenteroides* by an iron (II) - citrate Complex. Archives of Biochemistry and Biophysics. 301(2): 391 - 395.
- Utarabhand, P. (1994). NADPH generating enzyme in oil palm. Biotechnology and Biology Diversity. 212: 1 - 5.
- Weber, K and Osborn, M. (1969). The reliability of molecular weight determination by dodecyl sulphate - polyacrylamide gel electrophoresis. J. Biol. Chem. 244(16): 4406 - 4412.
- Whitaker, J. R. (1972). Principle of Enzymology for Food Sciences. Marcel Dakker, Inc. New York.
- White, A.; Handler, P. and Smith, E. (1973). Principles of Biochemistry. Mc Graw - Hill Book Company. New York.
- Wilder, C. J. (1962). Factors affecting heat inactivation and partial reactivation of peroxidase purified by ion exchange chromatography. J. Food Sci. 27: 567 - 573.

**Characterization of Glucose - 6 - Phosphate Dehydrogenase (G6PD) That Purified From Locally Isolated Yeast *Saccharomyces cerevisiae* Sc1**

\* M. A. Al - Soufi

Dept. of Food Science & Biotechnology  
College of Agriculture, University of  
Tikret

H. M. Al - Obiday

Dept. of Food Science & Biotechnology  
College of Agriculture, University of  
Baghdad

**Abstract**

The molecular weight of the (G6PD) was 56 KDa as determined by polyacrylamide gel electrophoresis under denaturing conditions, the pH optimum of the enzyme was 7.5 and the pH stability profile showed that the enzyme was most stable at pH values 5.5 - 8. The optimum temperature for enzyme activity and stability was 50C°. The enzyme lost 4.6, 17.6 and 51.7% of its original activity after 7 days storage at -18, 4 and 25C° respectively. The activation energy for conversion of substrate to product was 12.3 Kcal/ mol.

It was noticed that the metal chlorides MgCl<sub>2</sub>, MnCl<sub>2</sub> activated the enzyme activity. Meanwhile, AlCl<sub>3</sub>, NiCl<sub>2</sub> and FeCl<sub>2</sub> showed inhibition of the enzyme activity. However, Na<sub>2</sub>Co<sub>3</sub> and Ca<sub>2</sub>Co<sub>3</sub> was activator agent of the enzyme. Meanwhile, the chelating agents and the reducing compounds inhibited the enzyme activity. Kinetic studies showed (K<sub>m</sub>) and (V<sub>max</sub>) values for (G-6-P) at optimum (NADP<sup>+</sup>) concentration, 0.34 and 4.08 mM / min respectively, and for (NADP<sup>+</sup>) at optimum (G-6-P) concentration, 0.29 and 1.81 mM / min respectively.

\* Part of Ph.D. thesis of the first author